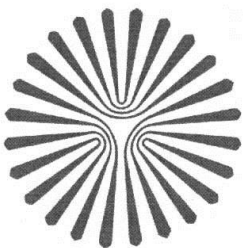


الله



دانشگاه پیام نور

دانشکده علوم پایه

گروه علمی فیزیک

پایان نامه

برای دریافت درجه کارشناسی ارشد

در رشته فیزیک (حالت جامد)

طراحی و امکان سنجی سنسورهای گازی با استفاده از نانوتین اکساید

استاد راهنما: دکتر مهدی صادقی

استاد مشاور: دکتر امیر عباس صبوری دودران

مارال صمدی بخارایی

شهریور ۹۱

اینجانب مارال صمدی بخارایی دانشجوی ورودی سال ۱۳۸۹ مقطع کارشناسی ارشد رشته فیزیک گواهی می‌نمایم چنانچه در پایان نامه خود از فکر، ایده و نوشه دیگری بهره گرفته‌ام با نقل قول مستقیم یا غیرمستقیم منبع و مأخذ آن را نیز در جای مناسب ذکر کرده‌ام. بدینهی است مسئولیت تمامی مطالبی که نقل قول دیگران نباشد بر عهده خویش می‌دانم و جوابگوی آن خواهم بود.

مارال صمدی بخارایی

.....

اینجانب مارال صمدی بخارایی دانشجوی ورودی سال ۱۳۸۹ مقطع کارشناسی ارشد رشته فیزیک گواهی می‌نمایم چنانچه براساس مطالب پایان‌نامه خود اقدام به انتشار مقاله، کتاب و... نمایم ضمن مطلع نمودن استاد راهنماء، با نظر ایشان نسبت به نشر مقاله، کتاب و... و به صورت مشترک و با ذکر نام استاد راهنماء مبادرت نمایم.

مارال صمدی بخارایی

.....

کلیه حقوق مادی مرتبط از نتایج مطالعات، آزمایشات و نوآوری ناشی از تحقیق موضوع این پایان‌نامه متعلق به دانشگاه پیام نور می‌باشد

مارال صمدی بخارایی

.....

تقدیم به

مادر و برادر عزیزم، ارزشمندترین و بزرگ‌ترین سرمايه‌های زندگی ام  
و پدر بزرگوارم

## سپاسگزاری

کان رود در خانه‌ای از کوی‌ها  
از درون خویشتن جو چشم‌ه را  
وآن صاحب دل به نفح صور بود  
وین مدم عرصه عجایب نسپرد  
پس نظر بگذار و بگزین انتظار

عقل تحصیلی مثال جوی‌ها  
راه آبش بسته شد شه بی‌نوا  
پیش‌بینی این خرد تا گور بود  
این خرد از گور و خاکی نگذرد  
زین نظر وین عقل ناید جزدار

وظیفه خود را می‌دانم از تمامی عزیزانی که در این پایان‌نامه همراه و راهنمای من بودند تشکر و  
قدرانی داشته باشم.

از استاد ارجمند جناب دکتر مهدی صادقی (پژوهشکده علوم و فنون هسته‌ای) که راهنمایی ایشان در  
انجام این پروژه راه‌گشا بوده است و راهنمایی دلسویزانه ایشان در تمامی مراحل اجرای تحقیق مشوق  
اینجانب بوده است.

همچنین از اساتید بزرگوار دکتر امیر عباس صبوری (دانشگاه پیام نور تهران) و جناب دکتر علی  
اصغر شکری (دانشگاه پیام نور). به خاطر مطالعه پایان‌نامه و نیز قبول زحمت جهت شرکت در جلسه  
دافعیه تقدیر و تشکر نمایم.

مارال صمدی بخارایی

۹۱ شهریور

## چکیده

در پروژه صورت گرفته کار روی سنسور گازی می‌باشد و بررسی و ساخت سنسور گازی و نحوه کار با سنسور گازی توضیح داده شد، ماده حساس مورد مطالعه در این سنسور لایه ضخیم  $\text{SnO}_2$  می‌باشد که شامل ۴ جزء اصلی: ۱. زیر لایه ۲. هیتر ۳. الکترودها ۴. لایه حساس  $\text{SnO}_2$  بوده، ماده حساس بررسی شده به عنوان ماده اصلی و آزمایش شده نانو تین اکساید است، ماده مشخصه که به عنوان زیر لایه در نظر گرفته می‌شود آلومینا بوده، که حضور این ماده بعلت گرینش پذیری و ترکیب نشدن با گازهای وارد شده ضروری می‌باشد، روی لایه اصلی ۷ گاز بعنوان گازهای قابل شناسایی بررسی می‌شود، سنسورهای گازی بعلت ویژگی طولانی بودن زمان کارکرد و پایداری قابل تشخیص مقاومت خوب در مقابل گازهای خورنده ساختار قوی و قدرت مکانیکی خوب، قیمت پایین کوچکی کارکرد و اسان، مفید بوده و از خواص مربوطه  $\text{SnO}_2$  هدایت خوب الکتریکی شفافیت نوری در ناحیه مرئی، تخلخل بالا، پایداری حرارتی و مقاومت خوب مکانیکی در سنسورهای گازی مورد استفاده قرار می‌گیرد، دی اکسید قلع یک نیمه هادی دارای گاف انرژی پهن با ساختار پلی کریستالین روتیل تتراگونال است هدایت الکتریکی ان ناشی از وجود حفره‌های اکسیژن که بعنوان دهنده عمل می‌کنند می‌باشد. سنسورهای گازی  $\text{SnO}_2$  در دمای بین ۴۰۰-۲۰۰ سانتی گراد عمل می‌کنند در این محدوده دمایی هدایت یونی قابل صرف نظر می‌باشد. اساس سنسورهای گازی بر پایه واکنش بین گازها و سطوح جامد استوار است. جذب گازهای مختلف به ترکیب ساختاری سطح و مولکولهای گاز بستگی دارد و به روش‌های مختلف روی می‌دهد. سنسورهای گازی جامد از یک لایه حساس و یک مبدل انتقال تشکیل شده است که جهت رشد سنسورهای جدید و سنسورهای ماتریسی بررسی می‌شود، سنسورهای گازی بسته به تغییر خواص به چهار دسته تقسیم می‌شود: ۱- سنسورهای حساس به نور ۲- سنسورهای حساس به جرم ۳- سنسورهای خازنی ۴- سنسورهای هدایتی، با استفاده از این ۴ سنسور و مدل‌های تشخیصی مطرح شده از جمله SEM, XRD, TEM, FTIR و متدهای ساده ساز ابزارها، انالیزورهای گازی مناسبی می‌توان ساخت. در آزمایش و تحقیق صورت گرفته گازهای  $\text{CO}$ ,  $\text{CO}_2$ ,  $\text{NO}_2$ ,  $\text{CH}_4$ ,  $\text{O}_2$ ,  $\text{C}_2\text{H}_5\text{OH}$ ,  $\text{H}_2$  بررسی شد، در چه دماهایی این

گازها شناسایی می شود و میزان غلظت هایی که برای گازهای مختلف استفاده می شود متفاوت بوده و این غلظت‌ها نشانی است از حضور گاز و نوع ساختار گاز مربوطه و ماده اصلی نانوتین اکساید که دمای بررسی گازهای مختلف را کاهش می دهد.

كلمات کلیدی:

نانوتین اکساید, XRD, SEM, TEM, گازهای  $\text{Al}_2\text{O}_3$ , زیرلایه,  $\text{CO}$ ,  $\text{CO}_2$ ,  $\text{NO}_2$ ,  $\text{CH}_4$

## فهرست مطالب

صفحه

عنوان

فصل اول:

### ویژگی‌ها و کاربردهای $\text{SnO}_2$

۱	-۱-۱- مقدمه	۲
۱-۲	- حسگر های $\text{WO}_3$ , $\text{SnO}_2$ , $\text{Fe}_2\text{O}_3$ , ...	۲
۱-۳	- مزیت استفاده از $\text{SnO}_2$ در امکان سنجی	۱۰
۱-۴	- ساختار ماده‌ی $\text{SnO}_2$	۱۳
۱-۵	- ویژگی‌های حسگر $\text{SnO}_2$	۱۶
۱-۵-۱	- نوع برخورد $\text{SnO}_2$ با گازهای متفاوت و عکس العمل ایجاد شده	۱۶
۱-۶	- سنتز $\text{SnO}_2$ - $\text{H}_2\text{O}$ توسط $\text{SnCl}_4 \cdot 5\text{H}_2\text{O}$	۱۷
۱-۶-۱	- سنتز $\text{SnO}_2$ - $\text{H}_2\text{O}$ توسط $\text{KOH}, \text{KCl}, \text{NaOH}, \text{NaCl}$	۱۷
۱-۶-۲	- سنتز $\text{SnO}_2$ - $\text{H}_2\text{O}$ توسط $\text{LiOH}, \text{LiCl}, \text{NaCl}$	۱۷
۱-۶-۳	- نتیجه گیری	۱۹
۷-۱		

## فصل دوم:

### خواص و ویژگی‌های زیر لایه سنسور گازی

- ۲۱ ..... ۲-۱- ویژگی‌های آلومینیا
- ۲۱ ..... ۲-۲- ویژگی‌های آلومینیبا زیر لایه های دیگر
- ۲۴ ..... ۲-۳- کاربرد زیر لایه  $\text{Al}_2\text{O}_3$
- ۲۷ ..... ۲-۴- تهیه زیر لایه آلومینایی
- ۲۸ ..... ۲-۵- نتیجه گیری

## فصل سوم:

### خواص و ویژگی‌های الکترود سیگنال

- ۳۰ ..... ۳-۱- خواص و ویژگی‌های Pt, Pd
- ۳۲ ..... ۳-۲- کاربرد الکترود سیگنال در حضور زیر لایه
- ۳۴ ..... ۳-۳- مزایای حضور الکترود سیگنال ها

## فصل چهارم:

### طراحی سنسورهای گازی

۱-۴- ساخت و طراحی تجربی سنسورهای گازی ( $\text{CO}, \text{CO}_2, \dots$ ) ..... ۳۹

۲-۴- ویژگی های سنسورهای گازی مورد مطالعه در محفظه ی گازی ..... ۴۲

۳-۴- آنالیز طراحی سنسور گازی و گاز اصلی (هوای) ..... ۴۳

## فصل پنجم:

امکان سنجی سنسورهای گازی ( $\text{CO}, \text{CO}_2, \text{NO}_2, \text{CH}_4, \text{C}_2\text{H}_6\text{OH}, \text{H}_2, \text{O}_2$ )

۱-۵- امکان سنجی واژربخشی گاز  $\text{O}_2$  با استفاده از نانوتین اکساید ..... ۴۹

۲-۵- ویژگی های گاز  $\text{O}_2$  در محفظه ی سنسور با حضور نانوتین اکساید ..... ۵۱

۳-۵- امکان سنجی و اثر بخشی گاز  $\text{CO}$  با استفاده از نانوتین اکساید ..... ۵۲

۴-۵- ویژگی های گاز  $\text{CO}$  در محفظه ی سنسور با حضور نانوتین اکساید ..... ۵۳

۵-۵- امکان سنجی و اثر بخشی گاز  $\text{CO}_2$  با استفاده از نانوتین اکساید ..... ۵۳

۶-۵- ویژگی های گاز  $\text{CO}_2$  در محفظه ی سنسور با حضور نانوتین اکساید ..... ۵۵

۷-۵- امکان سنجی و اثر بخشی گاز  $\text{NO}_2$  با استفاده از نانوتین اکساید ..... ۵۵

۸-۵- ویژگی های گاز  $\text{NO}_2$  در محفظه ی سنسور با حضور نانوتین اکساید ..... ۵۷

۹-۵- امکان سنجی و اثر بخشی گاز  $\text{H}_2$  با استفاده از نانوتین اکساید ..... ۵۷

۵۸.....	-۵- ویژگی های گاز $H_2$ در محفظه ای سنسور با حضور نانوتین اکساید	۱۰
۵۹.....	-۵- امکان سنجی و اثر بخشی گاز $CH_4$ با استفاده از نانوتین اکساید	۱۱
۶۰.....	-۵- ویژگی های گاز $CH_4$ در محفظه ای سنسور با حضور نانوتین اکساید	۱۲
۶۱.....	-۵- امکان سنجی و اثر بخشی گاز $C_2H_6OH$ با استفاده از نانوتین اکساید	۱۳
۶۲.....	-۵- ویژگی های گاز $C_2H_6OH$ در محفظه ای سنسور با حضور نانوتین اکساید	۱۴

## فصل ششم:

بررسی و آنالیزم مواد و مورفولوژی سطح با استفاده از روش های XRD, TEM, SEM	
۶۵.....	-۶- آنالیز تشخیص ترکیب مواد بکار رفته در سنسور گازی
۶۷.....	۱-۶-۱- آنالیز تشخیص ترکیب مواد بکار رفته در گاز $CO$
۶۸.....	۱-۶-۱-۲- آنالیز تشخیص ترکیب مواد بکار رفته در گاز $NO_2$
۶۹.....	۱-۶-۱-۳- آنالیز تشخیص ترکیب مواد بکار رفته در گاز $H_2$
۷۰.....	۱-۶-۱-۴- آنالیز تشخیص ترکیب مواد بکار رفته در گاز $O_2$
۷۱.....	۱-۶-۱-۵- آنالیز تشخیص ترکیب مواد بکار رفته در گاز $CH_4$
۷۲.....	۱-۶-۱-۶- آنالیز تشخیص ترکیب مواد بکار رفته در گاز $CO_2$
۷۴.....	۱-۶-۱-۷- آنالیز تشخیص ترکیب مواد بکار رفته در گاز $C_2H_6OH$
۷۵.....	۱-۶-۲- نتیجه گیری

۳-۶- پیشنهاد ادامه..... ۷۷.....

مراجع..... ۷۸.....

## فهرست شکلها

### صفحه

### عنوان

شکل ۱-۱-a - سنسور ابتدایی تاگوچی package – b سنسور..... ۴

شکل ۱-۳-۱- پوشش و نحوه قرارگرفتن لایه میکروساختار  $\text{SnO}_2$  با استفاده (TEM) ..... ۱۳

شکل ۱-۴-۱- تصویری از مورفولوژی سطح  $\text{SnO}_2$  با استفاده از (SEM) ..... ۱۴

شکل ۱-۴-۲- تصویری از انتقال میکروسکوپی الکترونهادر  $\text{SnO}_2$  (TEM) ..... ۱۴

شکل ۱-۴-۳- شکل ۱- ساختار کریستالی  $\text{SnO}_2$  با چهار آنیون  $\text{O}^{2-}$  و دو کاتیون  $\text{Sn}^{4+}$  ..... ۱۵

شکل ۱-۶-۱- تشخیص و ترکیب موادبکاررفته در  $\text{SnO}_2$  بوسیله XRD و TEM در دماهای  $200^{\circ}\text{C}$  و  $400^{\circ}\text{C}$  و  $600^{\circ}\text{C}$  ..... ۱۸

شکل ۱-۲-۳- الکتروسیگنال با پوشش طلا - مس ..... ۲۷

شکل ۱-۲-۳- ساختار چیدمان زیرلایه-الکتروسیگنال-میکروساختار نانوتین اکساید ..... ۳۳

شکل ۱-۲-۳- پوشش و نحوه قرارگرفتن لایه میکروساختار  $\text{SnO}_2$  با استفاده از TEM ..... ۳۳

شکل ۱-۲-۳- ساختار چیدمان  $\text{Al}_2\text{O}_3$ ,  $\text{SnO}_2$ , pt با استفاده از روش‌های SEM, TEM ..... ۳۴

شکل ۱-۳-۴- طیف پراش اشعه X پودر  $\text{SnO}_2$  تهیه شده در دماهای  $350^{\circ}\text{C}$ - $450^{\circ}\text{C}$ - $500^{\circ}\text{C}$  ..... ۴۴

شکل ۱-۳-۴- اندازه‌گیری سطح و اندازه ذرات با استفاده از روش SEM در دمای  $350^{\circ}\text{C}$  ..... ۴۵

شکل ۱-۳-۴- اندازه‌گیری سطح و اندازه ذرات با استفاده از روش SEM در دمای  $450^{\circ}\text{C}$  ..... ۴۵

شکل ۱-۳-۴- اندازه‌گیری سطح و اندازه ذرات با استفاده از روش SEM در دمای  $550^{\circ}\text{C}$  ..... ۴۶

شکل ۴-۳-۵- اندازه‌گیری سطح و اندازه ذرات با استفاده از روش SEM در دمای  $550^{\circ}\text{C}$  ..... ۴۶

شکل ۱-۱-۶- طیف پراش اشعه X گاز CO تشخیص موادبکاررفته و موفولوژی سطح(نانوتین اکساید) با استفاده از روش‌های SEM,TEM ..... ۶۷

شکل ۱-۲-۶- طیف پراش اشعه X گاز  $\text{NO}_2$  تشخیص موادبکاررفته و موفولوژی سطح (نانوتین اکساید) با استفاده از روش‌ها SEM,TEM ..... ۶۸

شکل ۱-۳-۶- طیف پراش اشعه X گاز  $\text{H}_2$  تشخیص موادبکاررفته و موفولوژی سطح (نانوتین اکساید) با استفاده از روش‌های SEM,TEM ..... ۶۹

شکل ۱-۴-۶- طیف پراش اشعه X گاز  $\text{CO}_2$  تشخیص موادبکاررفته و موفولوژی سطح(نانوتین اکساید) با استفاده از روش‌های SEM,TEM ..... ۷۰

شکل ۱-۵-۶- طیف پراش اشعه X گاز  $\text{CH}_4$  تشخیص موادبکاررفته و موفولوژی سطح (نانوتین اکساید) با استفاده از روش‌های SEM,TEM ..... ۷۱

شکل ۱-۶-۶- طیف پراش اشعه X گاز  $\text{C}_2\text{H}_5\text{OH}$  تشخیص موادبکاررفته و موفولوژی سطح(نانوتین اکساید) با استفاده از روش‌های TEM,XRD ..... ۷۲

شکل ۱-۷-۶- طیف پراش اشعه X گاز  $\text{O}_2$  و موادبکاررفته در سطح با نانوتین اکساید با استفاده از روش‌های SEM,TEM ..... ۷۴

## فهرست جداول:

### صفحه

### عنوان

جداول ۱-۲-۲- خواص ویژگی های زیر لایه مورد استفاده (آلومینا).....	۲۶
جداول ۱-۳-۱- مواد حسگر نیمه رسانا و گازهای مورد نظر مشابه.....	۳۶
جدول ۱-۱-۵- ویژگیهای طراحی سنسور گاز $O_2$ با استفاده از نانو تین اکساید ..... ۵۰	
جدول ۱-۳-۵- ویژگی های طراحی سنسور گاز $CO$ با استفاده از نانو تین اکساید .....	۵۲
جدول ۱-۵-۵- ویژگی های طراحی سنسور گاز $CO_2$ با استفاده از نانو تین اکساید.....	۵۴
جدول ۱-۵-۷- ویژگی های گاز $NO_2$ در محفظه‌ی سنسور با حضور نانوتین اکساید.....	۵۶
جدول ۱-۵-۹- ویژگی های گاز $H_2$ در محفظه‌ی سنسور با حضور نانوتین اکساید.....	۵۸
جدول ۱-۱۱-۵- ویژگی های گاز $CH_4$ در محفظه‌ی سنسور با حضور نانوتین اکساید.....	۶۰
جدول ۱-۱۳-۵- ویژگیهای گاز $C_2H_5OH$ در محفظه‌ی سنسور با حضور نانوتین اکساید.....	۶۲

فصل اول:

ویژگی‌ها و کاربردهای  $\text{SnO}_2$

## ۱-۱ - مقدمه

در میان سنسورهای گازی هدایتی، سنسورهای اکسیدهای فلزی مانند  $TiO_2$ ,  $Fe_2O_3$ ,  $ZnO_2$ ,  $SnO_2$  مزیت‌های بسیاری نسبت به اکسیدهای فلزی دیگر داشته که در اینجا به بررسی سنسور  $SnO_2$  می‌پردازیم.  $SnO_2$  یک نیمه رسانای اکسید  $n$  دارای گاف انرژی پهن  $3.6\text{ eV}$  با ساختار پلی کریستالین روتیل تتراگونال بوده است، که این بیشترین پهنا برای نیمه رسانای اکسید سرامیکی سنسورهای گازی است که مورد استفاده قرار می‌گیرد، برای ساخت سنسورهای پیشرفته از  $SnO_2$  که دارای حساسیت بالا و طراحی ساده و وزن کم، قیمت مناسب است استفاده می‌شود. رفتار نوع  $n$  نیمه هادی  $SnO_2$  مربوط به کم اکسیژن بودن ماده می‌باشد و سطوح دهنده و گیرنده انرژی غلط و دما را که اساسی ترین ویژگی توده می‌باشد مشخص می‌کند. امکان استفاده از نیمه هادیهای اکسید فلزی بعنوان سنسور گازی اولین بار توسط سیاما در سال ۱۹۶۲ مطرح شد (دوری<sup>۱</sup>: ۲۰۰۰، ۱۶۳). سپس در سال ۱۹۷۰ سنسور گازی نیمه هادی دیگری با آرایش متفاوت توسط تاگوچی طراحی گردید (ایشیما<sup>۲</sup>،  $TiO_2$ ,  $SnO_2$ ,  $ZnO_2$ ,  $Fe_2O_3$ ,  $CO$ ,  $CO_2$ ,  $NO_2$ ,  $CH_4$ ,  $H_2$ ,  $O_2$ ,  $C_2H_6OH$ ,  $O_3$  می‌توانند تحت تاثیر گازهای محیط قرار گیرند. بر همین اساس سنسورهای هدایتی نیمه هادی‌ها پایه گذاری شد. در میان اکسیدهای فلزی، نیمه هادی  $SnO_2$  از ویژگی‌های مانند طول عمر بیشتری نسبت به سایر هادی‌ها برخوردار است و نسبت به گازهای  $H_2$ ,  $O_2$ ,  $CO$ ,  $CO_2$ ,  $NO_2$ ,  $CH_4$ ,  $H_2$ ,  $O_3$  حساس می‌باشد.

## ۱-۲ - حسگرهای $Fe_2O_3$ , $SnO_2$ , $WO_3$

از وقتی سیاما و دستیارانش برای اولین بار استفاده از اکسیدهای نیمه رسانا را برای تعیین گازهای قابل اشتعال مرسوم کردند (سیاما<sup>۳</sup>: ۱۹۶۲) و تولید اولین حسگر گازی رسمی تجاری  $SnO_2$  توسط

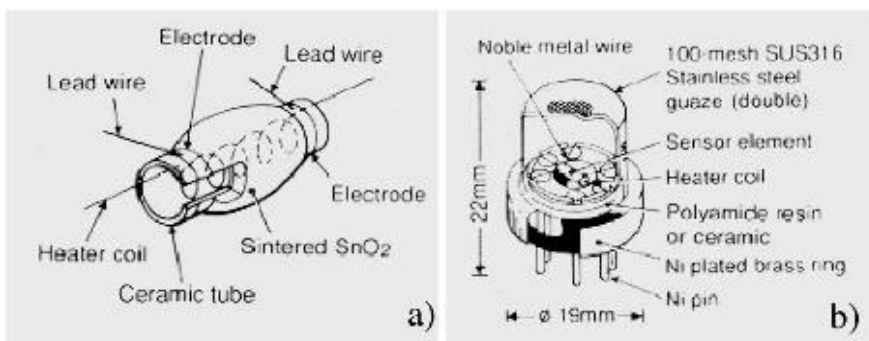
- 
۱. Dori
  ۲. Aishima
  ۳. Seiyama

کارخانه تاگوجی (TGS) صورت پذیرفت (نیتا<sup>۱</sup>، ۱۹۷۲: ۹۸۰). SnO<sub>۲</sub> به عنوان حسگر گازی محکم به طور گستردگای مورد مطالعه و بررسی قرار گرفت (یامازویی<sup>۲</sup>، ۱۹۸۳: ۲۸۴).

حسگرهای تاگوجی برمبنای دی اکسید قلع به طور گستردگای برای تعیین اکسیدکردن گازهای کاهنده مورد استفاده قرار گرفت. یک انحراف کوچک خسارات زیادی به این دستگاهها وارد می‌کرد. چندی از نویسندهای تاثیرات انحراف را به تغییرات در کمبود اکسیژن نسبت دادند (گوپل<sup>۳</sup>، ۱۹۸۹: ۴۴۲)، (روهلهن<sup>۴</sup>، ۱۹۸۹: ۹۰)، (کمپ<sup>۵</sup>، ۲۰۰۱: ۵۳۸) برخی دیگر به مطالعه‌ی حرکت اکسیژن با استفاده از دو روش متفاوت پرداختند: ۱- تکنیک تشدید کردن آرامش پارامغناطیس ۲- تکنیک آرامش رسانایی (کمپ<sup>۶</sup>، ۲۰۰۱: ۵۳۸) آنها به این نتیجه رسیدند که فرایندهای جنبشی انحراف با تغییر سطح واکنش‌های اکسیژن در SnO<sub>۲</sub> باعث انتشار شیمیایی اکسیژن می‌شوند. دیگر محققان نظریه‌ای را ارائه دادند که وابستگی حساسیت گاز لایه SnO<sub>۲</sub> را بر غلظت لایه و دمای راه اندازی را توصیف می‌کرد.

اکسیدهای فلزی دوتایی مانند ZnO<sub>۲</sub>, Fe<sub>۲</sub>O<sub>۳</sub>, SnO<sub>۲</sub>, TiO<sub>۲</sub>, ... از جدیدترین اکسیدهای فلزی احتمالی هستند به علاوه، اکسیدهای بی‌شمار سه تایی، چهارگانه و پیچیده به اصطلاح فلزهای غیر پلیمری نیز وجوددارند. این مواد در حالت‌های خالص و ناخالص تحت بررسی و تولید قرار گرفتند. مثال Ga<sub>۲</sub>O<sub>۳</sub> به خاطر حساسیت آن به کنترل گازهای احتراق پذیر مانند CO, CH<sub>۴</sub>, H<sub>۲</sub> شناخته شده است (مایکسنر<sup>۷</sup>، ۱۹۹۵: ۱۲۲).

- 
۱. Nitta
  ۲. Yamazoe
  ۳. Gopel
  ۴. Ruhland
  ۵. Kamp
  ۶. Maixner



شکل ۱-۱ - a - سنسور ابتدایی تاگوچی b - بسته سنسور تاگوچی (دوری، ۲۰۰۰: ۲۴۳)

یک نمونه گاز بررسی شده  $\text{CH}_4$  بود که از حساسیت بالایی در دماهای بیش از  $800^\circ\text{C}$  برخوردار است. در این دماها حساسیت به دیگر گازها قابل اشتعال به صورت چشمگیری پایین است. از اینرو ممکن است  $\text{Ga}_2\text{O}_3$  بعنوان نمونه انتخابی جهت کنترل  $\text{CH}_4$  در دمای بالا مورد استفاده قرار گیرد.

$\text{WO}_3$ ,  $\text{TiO}_2$  برای تعیین اکسیدهای نیتروژن مورد استفاده قرار گرفت. هرچند، دماهای شروع به کار معمول، اهمیت آنرا تغییر می‌دهند ولی این کار در ادامه مسیر برای تعدادی از گازها مفید بوده است. برای مثال حساسیت به  $\text{NO}_x$  با  $\text{WO}_3$  با کاهش دما افزایش می‌یابد دمای معمول شروع به کار تقریباً  $300^\circ\text{C}$  می‌باشد (آکیاما، ۱۹۹۳: ۶۱۹) حساسیت  $\text{NO}_x$  در حسگرهای  $\text{TiO}_2$  نیز معمولاً به حداقل  $450^\circ\text{C}$  می‌رسد (ساتاکه، ۱۹۹۴: ۱۱۵).

کاهش انتشار  $\text{NO}_x$  می‌تواند در طول کاتالیز انتخابی با  $\text{NH}_3$  تحت کنترل قرار گیرد. در مطالعه پیشین (گاردنر، ۱۹۹۰: ۱۶۸) گاردنر و یلانووا و دستیارانش مدلی را برای رفتار ناپایدار رسانایی الکتریکی در حسگر لایه ضخیم  $\text{SnO}_2$  ارائه دادند. (ولانووا، ۱۹۹۵: ۴۷۵)، (ولانووا، ۱۹۹۶: ۷۸) آنها دو مدل را پیشنهاد کردند که نشان می‌داد رفتار ناپایدار حسگر لایه ضخیم  $\text{SnO}_2$  که در معرض یک مرحله تغییر تراکم قرار دارد که در صورت انتشار محدود می‌شود. دیگر مقاله‌ها روش کمی

۱. Dori
۲. Akiyama
۳. Satake
۴. Gardner
۵. Vilanova

ترکیبات فرار آلی را که از هردو واکنش‌های ناپایدار و ثابت در لایه ضخیم حسگر گازی اکسید قلع استفاده می‌کنند مورد بررسی قرار می‌دهند (لیوبت<sup>۱</sup>، ۱۹۹۷: ۹۷۳؛ لیوبت، ۱۹۹۷: ۱۷) ترتیبی از چهار نوع TGS، گزینش ناپذیری، حسگرهای گازی  $\text{SnO}_2$  تکنیک‌های الگو شناختی همگی برای جداسازی و تعیین کمیت یک بخار خاص و ترکیبات دو تایی اتانول، تولوئن و... متعدد شده‌اند.

این سیستم بخار خاصی را با میزان موفقیت و کارایی ۱۰۰٪ و نیز بخاری با میزان کارایی ۹۵٪ شناسایی و کمیت آنرا تعیین کرده و ترکیبات دوتایی را با میزان ۸۰٪ تعیین می‌کند و دیگر موارد بدست آمده در مطالعات آنها نیز با همین عنوان‌های مشابه معرفی شده است.

محققان دیگری ویژگی‌های غیر عادی جریان ولتاژ  $\text{WO}_3$  که در آزمایش‌های صورت گرفته که ارزش زیادی دارد، در حسگرهای اکسیدی  $\text{SnO}_2$  مورد پژوهش قرار می‌دهد (یان<sup>۲</sup>، ۱۹۹۱: ۵۰) آنها روشی جدیدی برای یافتن گازهای کاهنده که در ساختار خود لایه حسگر به کار می‌رفت ارائه دادند که این روش بدون استفاده از گرماده اضافی کار می‌کرد. این روش برای کشف گاز اتانول ( $\text{C}_2\text{H}_5\text{OH}$ ) به کار می‌رفت.

حقیقتاً وجود تکنیک‌های رسوبی بیشماری، به بسیاری این اجازه را داد که به مطالعه‌ی چگونگی تاثیر ویژگی حسگر گازی بپردازند. با اتصال یک فعال کننده‌ی فلزی بسیار نازک (Pt, Pd, Au,...) زمان واکنش به کمتر از یک دهم مقدار واقعی آن کاهش می‌یابد که در این بررسی‌ها نشان داده می‌شود هر گازی و هر ماده اصلی که بعنوان سنسور تعریف شده است الکترودیگنال مخصوص به خود را داشته است، هلمیچ و دستیارانش حساسیت میکروماشینی عنصرهای حسگر گازی را که که ۷ گاز معرفی شده است ...  $\text{CO}_2$ ,  $\text{CO}$ ,  $\text{H}_2\text{O}_2$ ,  $\text{CH}_4$ ,  $\text{C}_2\text{H}_5\text{OH}$  و تغییرات فشار جزئی اکسیژن را مورد پژوهش قرار دادند. آنها دریافتند که تغییرات در ولتاژ می‌تواند برای شناخت سینماتیک حساسیت مقطوعی به طور یکسان عنصرهای حسگر را فراهم آورد و حسگرهای گازی اکسید قلع توسط فرآیند نیمه جامد و نیمه ژلاتین (sol-gel) مهیا شود که توسط رلا و دستیارانش مورد مطالعه قرار گرفت

۱. Liobet

۲. Yun